

УДК [539.2+536.7]: 540.65

© 1992

**ИССЛЕДОВАНИЕ МОНОКРИСТАЛЛОВ $\text{Sm}_{1-x}\text{Gd}_x\text{S}$
МЕТОДОМ ДИФФЕРЕНЦИАЛЬНОЙ
СКАНИРУЮЩЕЙ КАЛОРИМЕТРИИ**

*B. M. Егоров, T. C. Орлова, B. I. Смирнов,
I. A. Смирнов, A. B. Голубков*

Экспериментально определены теплоемкость и теплоты фазовых переходов монокристаллов $\text{Sm}_{1-x}\text{Gd}_x\text{S}$. Получены зависимости внутренней энергии от температуры для равновесной полупроводниковой и метастабильной металлической фаз. Выделены те части теплоемкости и энталпии, которые определяются ангармонизмом колебаний атомов решетки. Установлена корреляция между ними и «внутренним решеточным давлением», на основании которой рост энергии кристаллов за счет ангармонизма колебаний при увеличении x связывается с изменением взаимного расположения f -уровней электронов и два зоны проводимости.

В монокристаллах $\text{Sm}_{1-x}\text{Gd}_x\text{S}$ под действием внешних механических напряжений при $x < 0.16$ происходит фазовый переход с существенным изменением параметра решетки (с сохранением решетки типа NaCl [1]) и переходом электронной структуры монокристаллов из полупроводниковой в металлическую. Фазовый переход может быть инициирован либо всесторонним сжатием при давлении $P < 650$ МПа (при $x=0 P=650$ МПа), либо одноосным сжатием [2–4]. При $x > 0.16$ монокристаллы могут быть получены непосредственно в металлической фазе без внешнего механического воздействия [5]. В настоящей работе в широком температурном диапазоне (100–750 К) изучались тепловые характеристики — теплоемкость C_p , энталпия H и энталпия фазовых переходов ΔH_f монокристаллов $\text{Sm}_{1-x}\text{Gd}_x\text{S}$ как в полупроводниковой, так и в металлической фазах.

1. Экспериментальная методика

Кристаллы выращивались методом направленной кристаллизации из расплава в герметизированных тиглях из тугоплавкого металла. Образцы для исследования с размерами $1.5 \times 2 \times 3$ мм³ выкалывались из исходных слитков по плоскостям спайности (100). Нагружение образцов производилось при комнатной температуре одноосным сжатием вдоль наибольшего размера на машине с постоянной скоростью перемещения захватов 10^{-3} мм/с. На диаграмме нагрузления фиксировалась зависимость нормальных напряжений от времени. Появление новой фазы в нагруженных образцах обнаруживалось по изменению цвета их отдельных областей с «черного» (исходного) на «золотой». Механизм фазового перехода в условиях одноосного сжатия реализуется за счет перемещения межфазной границы, образованной дислокациями несоответствия [4, 6].

Теплоемкость исследуемых образцов определялась с помощью калориметра DSC-2 «Perkin—Elmer». Кривые дифференциальной сканирующей калориметрии (ДСК) фиксируют тепловой поток dH/dt , поглощаемый или выделяемый образ-

цом в процессе нагревания или охлаждения (при сканировании по температуре). При постоянной скорости изменения температуры $v = dT/dt$ и отсутствии в сравнительной камере инертного вещества (эталона) кривые ДСК представляют собой зависимости теплоемкости от температуры, так как $C_p = dH/dT = (1/v) \times (dH/dt)$. При работе в дифференциальном режиме с использованием эталона кривые ДСК фиксируют относительные изменения теплового потока и соответственно теплоемкости (ΔC_p). Точность определения C_p и ΔC_p составляла $\pm 5\%$.

2. Результаты и их обсуждение

На рис. 1 представлены кривые ДСК монокристаллов $\text{Sm}_{0.86}\text{Gd}_{0.14}\text{S}$ в металлической фазе, полученные при нагревании (1) и охлаждении (2) в дифференциальном режиме. Охлаждение и нагревание производились от комнатной температуры, при которой образцы переводились одноосным сжатием из полупровод-

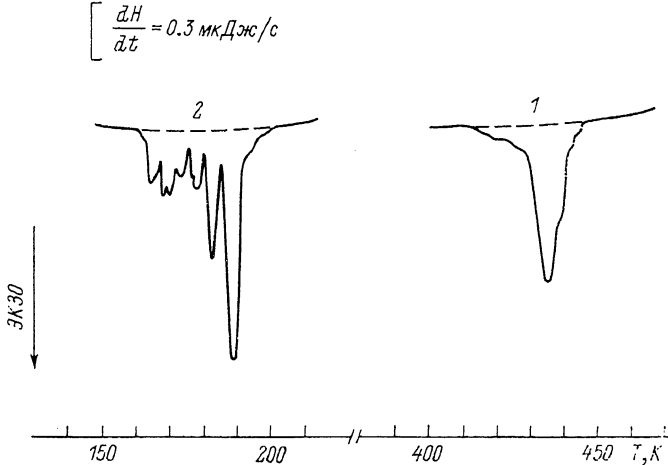


Рис. 1. Кривые ДСК монокристаллов $\text{Sm}_{0.86}\text{Gd}_{0.14}\text{S}$, переведенных в металлическую фазу одноосным сжатием.

1 — нагревание, 2 — охлаждение. Скорость изменения температуры 10 град/мин.

никовой в металлическую фазу, до температур 100 и 500 К соответственно. В качестве компенсирующего эталона использовался монокристалл того же состава и веса в полупроводниковой фазе, предварительное исследование которого показало отсутствие в нем каких-либо тепловых эффектов на зависимости теплоемкости от температуры в указанном интервале. На обеих кривых видно, что как охлаждение, так и нагрев образцов сопровождались рядом острых пиков выделения энергии в интервале температур ΔT с тепловым эффектом перехода ΔH_f . При охлаждении $\Delta T_1 = 160 \div 190$ К и $\Delta H_{11} = 11.6$ Дж/г, а при нагреве $\Delta T_2 = 410 \div 440$ К и $\Delta H_{12} = 4.2$ Дж/г. В обоих случаях монокристаллы после перехода превращались в порошок. У образцов, переведенных в металлическую фазу всесторонним давлением, при охлаждении $\Delta T_1 = 160 \div 190$ К и $\Delta H_{11} = -9.2$ Дж/г, а при нагреве $\Delta T_2 = 380 \div 410$ К и $\Delta H_{12} = 3.2$ Дж/г. Температурные интервалы ΔT_1 (при охлаждении) почти не зависят от состава, а ΔT_2 (при нагревании) сильно зависят от x ; например, для составов с $x = 0.13, 0.14$ и 0.15 температурные интервалы перехода металл—полупроводник расположены вблизи температур 410, 490 и 620 К соответственно [7].

Иной характер носит переход металл—полупроводник в монокристаллах с $x > 0.16$. При нагревании от комнатной температуры и выше (вплоть до

750 К) на кривых ДСК таких образцов отсутствуют локализованные в узких температурных интервалах эндо- или экзотермические эффекты. Переход происходит, если судить по изменению интенсивности золотого цвета образцов, постепенно в интервале температур 400—750 К. Образец при этом не разрушается.

Отсутствие локализованного теплового эффекта не означает, что теплота перехода в этом случае равна нулю. Если тепловыделение происходит симбатно с изменением цвета образца, то в интервале шириной > 300 К это должно вызвать отклонение кривой ДСК существенно меньше, чем на 5 %, т. е. точности измерения. Следовательно, однозначный ответ о наличии или об отсутствии тепловых эффектов в данном случае затруднителен.

На опыте оказалось, что температурная зависимость теплоемкости образцов $\text{Sm}_{1-x}\text{Gd}_x\text{S}$ выражается функцией вида

$$C_p = C_0 + C_1 T, \quad (1)$$

где C_0 и C_1 — константы для образцов одного состава, не зависящие от их фазового состояния. По мере увеличения x величина C_1 возрастает (рис. 2, кривая 1), а C_0 практически не изменяется и составляет $C_0=0.248$ Дж/г·град.

Полученные экспериментально зависимости $C_p(T)$ и значения ΔH_i , позволяют рассчитать изменение внутренней энергии U или энталпии H (при $p=1$ атм $U \cong H$ [8]) монокристаллов $\text{Sm}_{1-x}\text{Gd}_x\text{S}$ в зависимости от температуры и фазового состояния.

Уравнение для расчета $H(T)$ имеет вид

$$H(T) = \sum_n \Delta H_{tn} + \int_{T_0}^T C_p(T) dT, \quad (2)$$

где $\sum_n \Delta H_{tn}$ — сумма энталпий переходов; в данном случае $\sum_n \Delta H_{tn} = \Delta H_{t1} + \Delta H_{t2}$, где ΔH_{t1} и ΔH_{t2} — энталпии переходов из металлической фазы в полупроводниковую при охлаждении и нагревании соответственно; $T_0=100$ К — температура, начиная с которой производилось экспериментальное определение теплоемкости $C_p(T)$. Для полупроводниковой фазы, как показано выше, $\Delta H_{t1,2}=0$ и $\sum_n \Delta H_{tn}=0$. С учетом соотношения (1) температурная зависимость энталпии будет иметь вид

$$H(T) = \sum_n \Delta H_{tn} + H_0 + C_0(T - T_0) + C_1(T - T_0)^2/2, \quad (3)$$

где H_0 — теплосодержание монокристаллов $\text{Sm}_{1-x}\text{Gd}_x\text{S}$ при 100 К.

На рис. 3 представлена зависимость $H(T)$ монокристаллов $\text{Sm}_{0.86}\text{Gd}_{0.14}\text{S}$ в различном фазовом состоянии, полученная по соотношению (3) с использованием определенных ранее значений $\Delta H_{t1,2}$, $C_0=0.248$ Дж/г·град и $C_1=1.4 \times 10^{-4}$ Дж/г·град.¹ Видно, что внутренняя энергия монокристаллов в полупроводниковой фазе нелинейно и монотонно возрастает при увеличении температуры (кривая 1). Внутренняя энергия монокристаллов в металлической фазе в интервале температур 160—430 К имеет избыточную по отношению к полупроводниковой фазе часть внутренней энергии (кривая 2), т. е. металлическая фаза метастабильна.

Из соотношения (1) следует, что $C_p(T)$ зависит от температуры линейно. Теплоемкость при постоянном объеме C_v в исследуемом интервале температур в соответствии с законом Диюнга—Пти не зависит от температуры, т. е. $C_v=$

¹ Значения C_1 близки к величине подобного коэффициента в уравнении для теплоемкости системы твердых растворов $\text{Sm}_{1-x}\text{Y}_x\text{S}$ с $x=0.3$ [9].

$=\text{const}$. Это позволяет выделить те части теплоемкости и энталпии, которые определяются изменением параметра решетки при изменении температуры, т. е. ангармонизмом колебаний атомов решетки. Согласно закону Нернста—Линдемана, с учетом соотношения (1) имеем

$$C_p - C_v = T \alpha^2 V / \kappa = C_1 T, \quad (4)$$

где α — коэффициент объемного расширения, V — объем, κ — коэффициент изотермического сжатия. Соответствующее изменение энталпии равно $H_a = C_1 (T - T_0)^2 / 2$ (см. уравнение (3)). На рис. 3 (кривая 3) представлена полученная для образца $\text{Sm}_{0.86}\text{Gd}_{0.14}\text{S}$ зависимость $H_a(T)$, характеризующая изменение внутренней энергии кристалла вследствие термического расширения или сжатия. Отметим, что $H_a(T)$ зависит от состава, поскольку C_1 , как указывалось выше, возрастает с увеличением x (рис. 2, кривая 1).

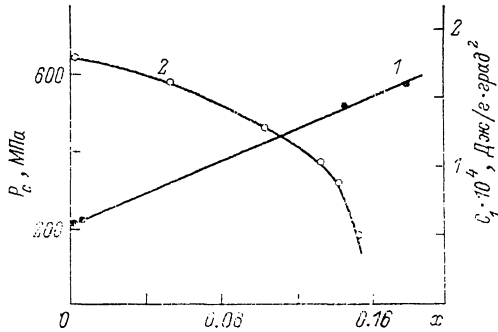


Рис. 2. Зависимость параметра C_1 (1) и критического давления P_c [5] (2) от состава в системе $\text{Sm}_{1-x}\text{Gd}_x\text{S}$.

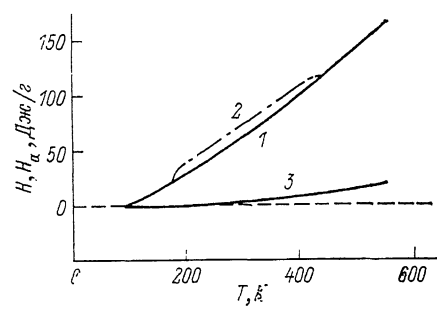


Рис. 3. Зависимость H (1, 2) и H_a (3) от температуры образцов $\text{Sm}_{0.86}\text{Gd}_{0.14}\text{S}$.
1, 3 — полупроводниковая фаза; 2 — металлическая фаза (всестороннее давление).

Как известно, увеличение x в системе $\text{Sm}_{1-x}\text{Gd}_x\text{S}$ приводит к уменьшению критической величины внешнего гидростатического давления P_0 , при котором происходит переход вещества в металлическое состояние [7, 10]. Объясняется это сжатием решетки при замещении Sm на Gd или возрастанием «внутреннего решеточного давления», которое изменяется от нуля при $x=0$ до 650 МПа при $x=0.16$ (рис. 2, кривая 2) и может быть представлено разницей $P_{\text{вн}}(x) = P_c(x=0) - P_c(x)$. При снятии давления образцы с $x=0.10$ возвращаются в первоначальное состояние, в то время как образцы с $x=0.13, 0.14$ и 0.15 остаются металлическими вплоть до атмосферного давления, т. е. проявляется гистерезис — металлическая фаза существует при давлениях, меньших, чем давление перехода полупроводник — металл. Они возвращаются в первоначальное состояние лишь после нагрева выше ΔT_2 или охлаждения ниже ΔT_1 . Разница $\Delta T = \Delta T_2 - \Delta T_1$ и величина H_a возрастают по мере увеличения x , т. е. при увеличении внутреннего давления.

Сопоставим значения $P_{\text{вн}}(x)$, полученные по данным, представленным на рис. 2 (кривая 2), с соответствующими величинами $H_a(x)$, определенными в точках перехода из металлического состояния в полупроводниковое по известным C_1 (рис. 2, кривая 1). Сопоставление показывает (рис. 4), что для различных значений x точки ложатся на единую прямую и, следовательно, наблюдается корреляционная зависимость между $P_{\text{вн}}$ и H_a .

Проанализируем полученную зависимость. В исходном состоянии система $\text{Sm}_{1-x}\text{Gd}_x\text{S}$ при $P_{\text{вн}} < P_c(x=0)$ находится в полупроводниковой фазе, но может быть переведена всесторонним сжатием в металлическую, которая после снятия внешнего давления сохраняется в диапазоне $P_0 < P_{\text{вн}} < P_c(x=0)$.

и вновь превращается в полупроводниковую (*B*) при $P_{\text{вн}} < P_0$. В последнем случае металлическая фаза может существовать только при наличии внешних сил сжатия, что находит отражение в отрицательном знаке H . Таким образом, величина P_0 является пороговой для существования металлической фазы (*G*) не только для кристаллов с $x < 0.10$, но и для кристаллов с $0.10 < x < 0.16$, поскольку в последних при охлаждении — уменьшении H_a — происходит понижение $P_{\text{вн}}$ до P_0 , при достижении которого металлическая фаза вновь превращается в полупроводниковую. Экстраполяция линейной зависимости $H_a(P_{\text{вн}})$ в область отрицательных значений энергий (на участке $P_{\text{вн}} < P_0$) до пересечения с осью абсцисс дает значение $H_a(P_{\text{вн}}=0)$, близкое к энергии ΔH_t низкотемпературного перехода металл—полупроводник.

Обратимся к модели зонной структуры рассматриваемых соединений. Электрические свойства системы $\text{Sm}_{1-x}\text{Gd}_x\text{S}$ определяются взаимным расположением *f*-уровней электронов и дна зоны проводимости [7]. Зазор между ними (E_d), составляющий в SmS 0.23—0.25 эВ, под действием давления и замены Sm

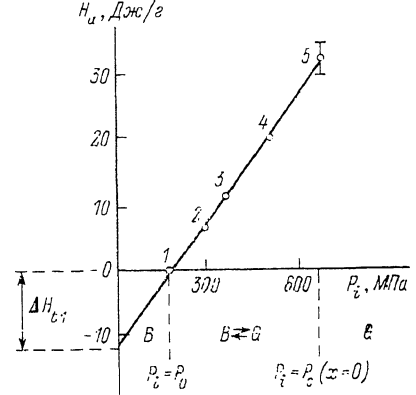


Рис. 4. Зависимость H_a от «внутреннего решеточного давления» $P_{\text{вн}}$.

$x: 1 - 0.10, 2 - 0.13, 3 - 0.14, 4 - 0.15, 5 - 0.16.$

на Gd уменьшается и в момент перехода в металлическое состояние захлопывается. Без воздействия давления это происходит в кристаллах с $x \geq 0.16$. При обратном переходе металл—полупроводник этот зазор вновь появляется; при этом избыточная энергия выделяется. Полученная зависимость $H_a(P_{\text{вн}})$ позволяет предположить, что рост энергии кристаллов за счет ангармонизма колебаний при увеличении x может быть связан с изменением E_d . Действительно, как видно из рис. 4, разность $H_a(x=0.16) - H_a(x=0) = 0.1$ эВ по порядку величины близка к ней и составляет $0.4 E_d$. Несовпадение значений может быть обусловлено тем, что зазор между *f*-уровнями и зоной проводимости в полупроводнике не равен E_d , который нужно преодолеть для возникновения фазового перехода.

Список литературы

- [1] Jayaraman A., Narayananmurti V., Bucher E., Maines R. C. // Phys. Rev. Lett. 1970. V. 25. № 5. Р. 1328—1333.
- [2] Акимов Г. Я., Рябов А. В., Смирнов Б. И., Смирнов И. А. // ФТТ. 1983. Т. 25. № 5. С. 1328—1333.
- [3] Каминский В. В., Виноградов А. А., Степанов Н. Н., Смирнов И. А. // Письма в ЖТФ. 1983. Т. 9. № 10. С. 624—626.
- [4] Golubkov A. V., Egorov V. M., Orlova T. S., Sergeeva V. M., Smirnov B. I., Smirnov I. A. // Phys. Stat. Sol. (A). 1988. V. 105. Р. K93—K94.
- [5] Smirnov I. A. // J. Physique. 1980. V. 41. C5. Р. 143—154.
- [6] Смирнов Б. И., Кестнер Г., Рябов А. В., Смирнов И. А. // ФТТ. 1983. Т. 25. № 2. С. 541—546.
- [7] Смирнов И. А., Оскотский В. С. // УФН. 1978. Т. 124. С. 241—250.
- [8] Ландау Л. Д., Лишин Е. М. Статистическая физика. М.: Наука, 1976. Ч. I. 583 с.
- [9] Jayaraman A., Bucher E., Dernier F. D., Longinotti L. D. // Phys. Rev. Lett. 1973. V. 31. N 3. Р. 700—703.
- [10] Smirnov B. I., Smirnov I. A. // Phys. Stat. Sol. (A). 1988. V. 110. Р. 89—96.